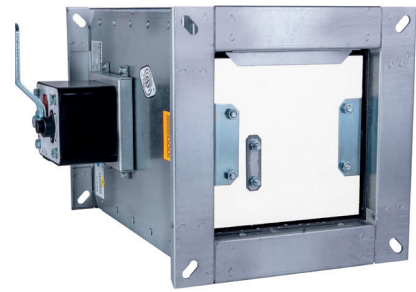


SERIE FD

FDMB



COMPUERTA CORTAFUEGOS

Modelo **FDMB**. Las compuertas cortafuegos rectangulares serie FDMB, funcionan como separadores entre dos sectores de incendios. Pueden instalarse tanto en paramentos verticales como horizontales. Disponen de un burlete perimetral en ambos extremos para asegurar la estanqueidad entre la compuerta y los conductos de aire.

Características:

- Clasificación EI120 (v_e h_o $i \leftarrow \rightarrow o$) S
 - (E) Integridad
 - (I) Aislamiento
 - (h_o) Aplicación en forjado. Montaje en paramento horizontal.
 - (v_e) Aplicación en muro o pared flexible. Montaje en paramento vertical.
 - ($i \leftarrow \rightarrow o$) Simétrica (indistintamente del sentido del aire). Apta para fuego en ambas direcciones
 - (S) Estanqueidad. Para humos fríos y calientes.
- Certificada según norma EN 15650 (Ventilación de edificios - Compuertas cortafuegos)
- Clasificada de acuerdo a norma EN 13501-3+A1 (Clasificación a partir de datos obtenidos en ensayos de resistencia al fuego de productos y elementos utilizados en las instalaciones de servicio de los edificios: Conductos y compuertas resistentes al fuego)
- Ensayada de acuerdo a norma EN 1366-2 (Ensayos de resistencia al fuego de instalaciones de servicio Parte 2: Compuertas Cortafuego)
- Estanqueidad de la compuerta de acuerdo a la norma EN 1751:
 - Clapeta: mínimo clase 2
 - Carcasa: mínimo clase C
- Velocidad máxima con la compuerta abierta 12 m/s.
- Diferencia de presión máxima 1200 Pa
- Dispone de un orificio de inspección para acceso al interior de la compuerta.
- La temperatura en el lugar de instalación está permitida en un rango de -30 °C a +50 °C.

Dimensiones normalizadas:

200x200 mm a 1000x500 mm.

Dimensión mínima:

100x100 mm.

Dimensión máxima:

1500x800 mm.

Modelos:

FDMB.01

Accionamiento manual y térmico en el exterior de la compuerta con carcasa de protección

FDMB.40

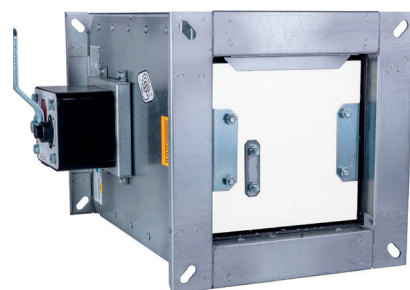
Servomotor eléctrico 230 v. AC con muelle de retorno Belimo BFL/BFN/BF 230-T con dos contactos auxiliares

FDMB.50

Servomotor eléctrico 24 v. AC/DC con muelle de retorno Belimo BFL/BFN/BF 24-T con dos contactos auxiliares

SERIE FD

FDMB

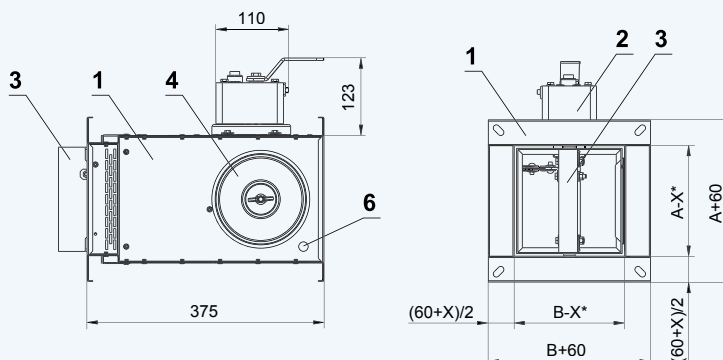


FDMB.01

Posición:

1. Carcasa de la compuerta
2. Mecánica
3. Hoja de la compuerta
4. Cubierta del agujero de inspección
5. Etiqueta de sensor
6. Agujero para cámara

X=23 (AXB≤500X400)
X=36 (AXB>500X400)

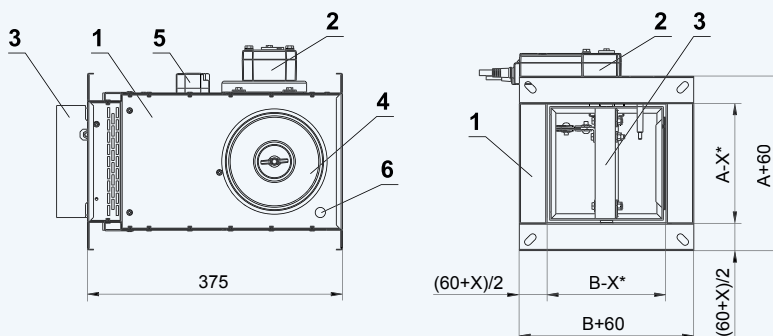


FDMB.40 / .50

Posición:

1. Carcasa de compuerta
2. Mecanismo actuador
3. Hoja de compuerta
4. Agujero de inspección
5. Mecanismo de arranque termoelectrico BAT
6. Agujero para cámara

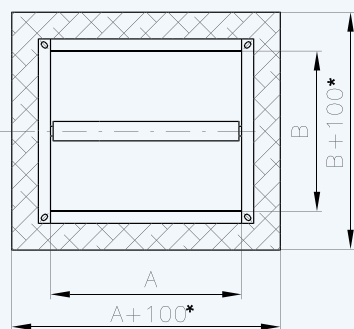
X=23 (AXB≤500X400)
X=36 (AXB>500X400)



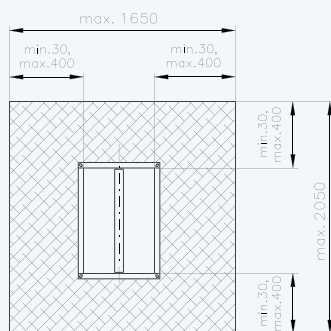
FDMB

Dimensiones de la apertura del conducto de la instalación

Apertura de instalación

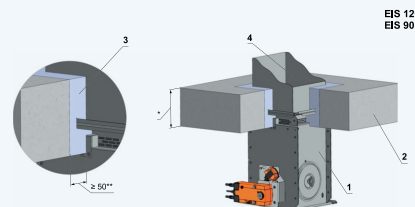


Apertura de instalación-
Sistema Weichschott



Instalación en techo macizo

Techo macizo-cemento o yeso



Posición:

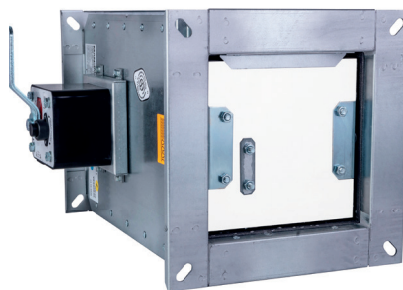
1. Compuerta cortafuegos
2. Techo macizo
3. Mortero o yeso
4. Conducto

*min.110- Hormigón/min125-Aerated concrete
**Alrededor del perímetro

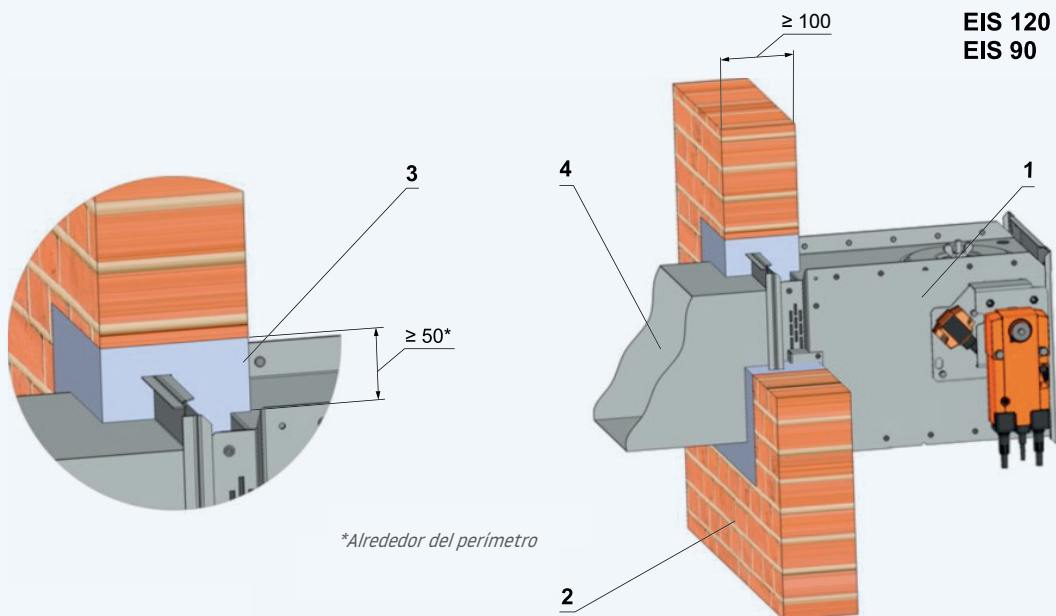
Los planos de incorporación mostrados sobre incorporación y compuerta son meramente ilustrativos

SERIE FD

FDMB



Instalación en pared maciza



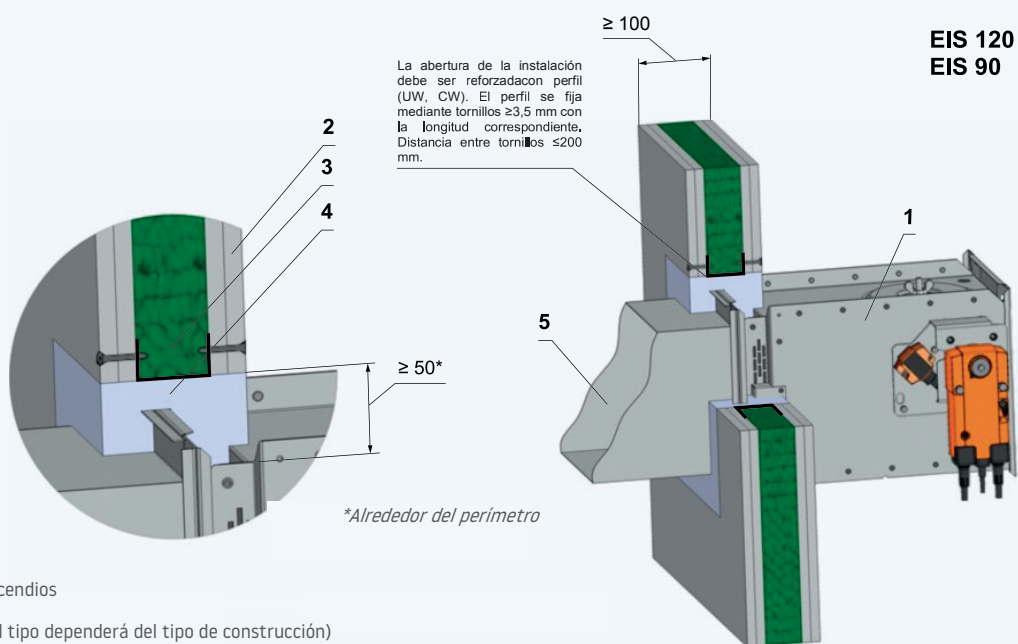
*Alrededor del perímetro

Posición:

1. Compuerta cortafuegos
2. Pared maciza
3. Cemento o yeso
4. Conducto

Los planos que se muestran sobre incorporación y compuertas son meramente ilustrativos.

Instalación en construcción de pared de cemento o yeso



*Alrededor del perímetro

Posición:

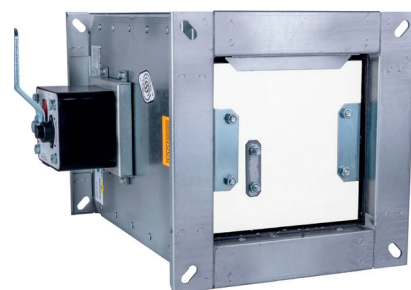
1. Compuerta de incendios
2. Placa de yeso
3. Lana mineral (el tipo dependerá del tipo de construcción)
4. Cemento o yeso.
5. Conducto

Los planos que se muestran sobre incorporación y compuertas son meramente ilustrativos.

SERIE FD

FDMB

Tabla de Selección



| LxH | Vn (m/s) | 2,5 | 3 | 3,5 | 4 | 4,5 | 5 | 5,5 | 6 | 6,5 | 7 |
|-----------------|---------------|-------|------|-------|------|--------|------|--------|------|--------|------|
| 200x200 | Caudal (m³/h) | 360 | 432 | 504 | 576 | 648 | 720 | 792 | 864 | 936 | 1008 |
| | Pt (Pa) | 9 | 13 | 17 | 22 | 28 | 35 | 42 | 50 | 59 | 68 |
| | LwA | 13,4 | 19,3 | 24,2 | 28,6 | 32,4 | 35,8 | 38,8 | 41,6 | 44,2 | 46,6 |
| 300x200 | Caudal (m³/h) | 540 | 648 | 756 | 864 | 972 | 1080 | 1188 | 1296 | 1404 | 1512 |
| | Pt (Pa) | 4 | 6 | 9 | 11 | 14 | 18 | 21 | 26 | 30 | 35 |
| | LwA | 9,9 | 15,8 | 20,8 | 25,1 | 28,9 | 32,3 | 35,3 | 38,2 | 40,7 | 43,1 |
| 400x200 | Caudal (m³/h) | 720 | 864 | 1008 | 1152 | 1296 | 1440 | 1584 | 1728 | 1872 | 2016 |
| | Pt (Pa) | 3 | 4 | 5 | 7 | 9 | 11 | 13 | 16 | 19 | 22 |
| | LwA | 7,4 | 13,3 | 18,3 | 22,6 | 26,4 | 29,8 | 32,9 | 35,7 | 38,3 | 40,6 |
| 1000x200 | Caudal (m³/h) | 1800 | 2160 | 2520 | 2880 | 3240 | 3600 | 3960 | 4320 | 4680 | 5040 |
| | Pt (Pa) | 4 | 5 | 7 | 9 | 11 | 14 | 17 | 20 | 24 | 28 |
| | LwA | 13,3 | 19,2 | 24,2 | 28,5 | 32,3 | 35,7 | 38,8 | 41,6 | 44,2 | 46,6 |
| 250x250 | Caudal (m³/h) | 562,5 | 675 | 787,5 | 900 | 1012,5 | 1125 | 1237,5 | 1350 | 1462,5 | 1575 |
| | Pt (Pa) | 6 | 8 | 11 | 14 | 18 | 22 | 27 | 32 | 37 | 43 |
| | LwA | 11,8 | 17,7 | 22,7 | 27 | 30,8 | 34,2 | 37,2 | 40,1 | 42,6 | 45 |
| 300x300 | Caudal (m³/h) | 810 | 972 | 1134 | 1296 | 1458 | 1620 | 1782 | 1944 | 2106 | 2268 |
| | Pt (Pa) | 4 | 5 | 7 | 10 | 12 | 15 | 18 | 22 | 26 | 30 |
| | LwA | 10,5 | 16,4 | 21,3 | 25,6 | 29,5 | 32,9 | 35,9 | 38,7 | 41,3 | 43,7 |
| 400x300 | Caudal (m³/h) | 1080 | 1296 | 1512 | 1728 | 1944 | 2160 | 2376 | 2592 | 2808 | 3024 |
| | Pt (Pa) | 2 | 3 | 5 | 6 | 8 | 9 | 11 | 13 | 16 | 18 |
| | LwA | 7,9 | 13,8 | 18,8 | 23,1 | 26,9 | 30,3 | 33,4 | 36,2 | 38,8 | 41,1 |
| 500x300 | Caudal (m³/h) | 1350 | 1620 | 1890 | 2160 | 2430 | 2700 | 2970 | 3240 | 3510 | 3780 |
| | Pt (Pa) | 3 | 5 | 6 | 8 | 10 | 13 | 16 | 19 | 22 | 25 |
| | LwA | 11,4 | 17,3 | 22,3 | 26,6 | 30,4 | 33,8 | 36,8 | 39,7 | 42,2 | 44,6 |
| 600x300 | Caudal (m³/h) | 1620 | 1944 | 2268 | 2592 | 2916 | "240 | 3564 | 3888 | 4212 | 4536 |
| | Pt (Pa) | 3 | 4 | 6 | 7 | 9 | 11 | 14 | 16 | 19 | 22 |
| | LwA | 11,2 | 17,1 | 22,1 | 26,4 | 30,2 | 33,6 | 36,7 | 39,5 | 42 | 44,4 |
| 800x300 | Caudal (m³/h) | 2160 | 2592 | 3024 | 3456 | 3888 | 4320 | 4752 | 5184 | 5616 | 6048 |
| | Pt (Pa) | 2 | 3 | 5 | 6 | 8 | 9 | 11 | 13 | 16 | 18 |
| | LwA | 10,9 | 16,8 | 21,8 | 26,1 | 29,9 | 33,3 | 36,4 | 39,2 | 41,8 | 44,2 |
| 900x300 | Caudal (m³/h) | 2430 | 2916 | 3402 | 3888 | 4374 | 4860 | 5346 | 5832 | 6318 | 6804 |
| | Pt (Pa) | 2 | 3 | 4 | 6 | 7 | 9 | 11 | 13 | 15 | 17 |
| | LwA | 11 | 16,9 | 21,9 | 26,2 | 30 | 33,4 | 36,5 | 39,3 | 41,9 | 44,3 |
| 1000x300 | Caudal (m³/h) | 2700 | 3240 | 3780 | 4320 | 4860 | 5400 | 5940 | 6480 | 7020 | 7560 |
| | Pt (Pa) | 2 | 3 | 4 | 6 | 7 | 9 | 11 | 13 | 15 | 17 |
| | LwA | 11,4 | 17,3 | 22,2 | 26,5 | 30,3 | 33,7 | 36,8 | 39,6 | 42,2 | 44,6 |
| 400x400 | Caudal (m³/h) | 1440 | 1728 | 2016 | 2304 | 2592 | 2880 | 3168 | 3456 | 3744 | 4032 |
| | Pt (Pa) | 2 | 3 | 4 | 5 | 6 | 7 | 9 | 11 | 12 | 14 |
| | LwA | 7,3 | 13,2 | 18,2 | 22,5 | 26,3 | 29,7 | 32,8 | 35,6 | 38,2 | 40,6 |

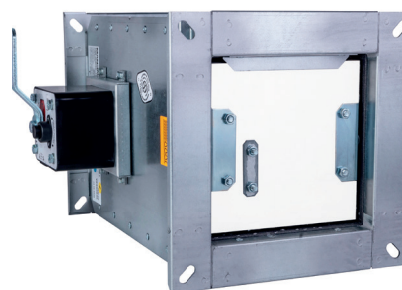
Leyenda

Vn (m/s): Velocidad nominal m/s
Pt = Pérdida de carga en Pa
LwA: Potencia sonora en dB(A)

SERIE FD

FDMB

Tabla de Selección

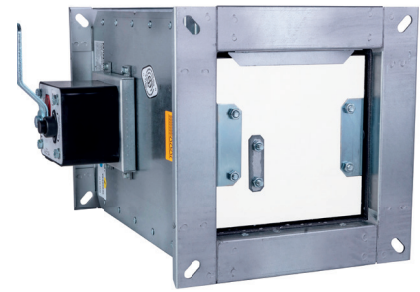


SISTEMAS CONTRA
INCENDIOS

| LxH | Vn (m/s) | 2,5 | 3 | 3,5 | 4 | 4,5 | 5 | 5,5 | 6 | 6,5 | 7 |
|-----------------|----------------------------|------|------|------|------|------|------|------|-------|-------|-------|
| 500x400 | Caudal (m ³ /h) | 1800 | 2160 | 2520 | 2880 | 3240 | 3600 | 3960 | 4320 | 4680 | 5040 |
| | Pt (Pa) | 3 | 4 | 5 | 7 | 8 | 10 | 13 | 15 | 18 | 20 |
| | LwA | 10,9 | 16,8 | 21,8 | 26,1 | 29,9 | 33,3 | 36,4 | 39,2 | 41,8 | 44,2 |
| 600x400 | Caudal (m ³ /h) | 2160 | 2592 | 3024 | 3456 | 3888 | 4320 | 4752 | 5184 | 5616 | 6048 |
| | Pt (Pa) | 2 | 3 | 4 | 6 | 7 | 9 | 11 | 13 | 15 | 18 |
| | LwA | 10,7 | 16,6 | 21,6 | 25,9 | 29,7 | 33,1 | 36,1 | 39 | 41,5 | 43,9 |
| 700x400 | Caudal (m ³ /h) | 2520 | 3024 | 3528 | 4032 | 4536 | 5040 | 5544 | 6048 | 6552 | 7056 |
| | Pt (Pa) | 2 | 3 | 4 | 5 | 7 | 8 | 10 | 12 | 14 | 16 |
| | LwA | 10,4 | 16,3 | 21,3 | 25,6 | 29,4 | 32,8 | 35,9 | 38,7 | 41,3 | 43,7 |
| 800x400 | Caudal (m ³ /h) | 2880 | 3456 | 4032 | 4608 | 5184 | 5760 | 6336 | 6912 | 7488 | 8064 |
| | Pt (Pa) | 2 | 3 | 4 | 5 | 6 | 7 | 9 | 11 | 12 | 14 |
| | LwA | 10,3 | 16,2 | 21,2 | 25,5 | 29,3 | 32,7 | 35,8 | 38,6 | 41,2 | 43,6 |
| 1000x400 | Caudal (m ³ /h) | 3600 | 4320 | 5040 | 5760 | 6480 | 7200 | 7920 | 8640 | 9360 | 10080 |
| | Pt (Pa) | 2 | 2 | 3 | 4 | 6 | 7 | 8 | 10 | 12 | 13 |
| | LwA | 10,7 | 16,6 | 21,6 | 25,9 | 29,7 | 33,1 | 36,1 | 39 | 41,5 | 43,9 |
| 500x500 | Caudal (m ³ /h) | 2250 | 2700 | 3150 | 3600 | 4050 | 4500 | 4950 | 5400 | 5850 | 6300 |
| | Pt (Pa) | 2 | 3 | 4 | 6 | 7 | 9 | 11 | 13 | 15 | 18 |
| | LwA | 10,9 | 16,8 | 21,7 | 26,1 | 29,9 | 33,3 | 36,3 | 39,1 | 41,7 | 44,1 |
| 600x500 | Caudal (m ³ /h) | 2700 | 3240 | 3780 | 4320 | 4860 | 5400 | 5940 | 6480 | 7020 | 7560 |
| | Pt (Pa) | 2 | 3 | 4 | 5 | 6 | 8 | 10 | 11 | 13 | 15 |
| | LwA | 10,6 | 16,5 | 21,5 | 25,8 | 29,6 | 33 | 36,1 | 38,9 | 41,4 | 43,8 |
| 800x500 | Caudal (m ³ /h) | 3600 | 4320 | 5040 | 5760 | 6480 | 7200 | 7920 | 8640 | 9360 | 10080 |
| | Pt (Pa) | 2 | 2 | 3 | 4 | 5 | 6 | 8 | 9 | 11 | 12 |
| | LwA | 10,1 | 16 | 21 | 25,3 | 29,1 | 32,5 | 35,6 | 38,4 | 41 | 43,4 |
| 900x500 | Caudal (m ³ /h) | 4050 | 4860 | 5670 | 6480 | 7290 | 8100 | 8910 | 9720 | 10530 | 11340 |
| | Pt (Pa) | 1 | 2 | 3 | 4 | 5 | 6 | 7 | 9 | 10 | 11 |
| | LwA | 10,1 | 16 | 21 | 25,3 | 29,1 | 32,5 | 35,6 | 38,4 | 41 | 43,4 |
| 1000x500 | Caudal (m ³ /h) | 4500 | 5400 | 6300 | 7200 | 8100 | 9000 | 9900 | 10800 | 11700 | 12600 |
| | Pt (Pa) | 1 | 2 | 3 | 4 | 5 | 6 | 7 | 8 | 10 | 11 |
| | LwA | 10,4 | 16,3 | 21,3 | 25,6 | 29,4 | 32,8 | 35,9 | 38,7 | 41,3 | 43,7 |
| 600x600 | Caudal (m ³ /h) | 3240 | 3888 | 4536 | 5184 | 5832 | 6480 | 7128 | 7776 | 8424 | 9072 |
| | Pt (Pa) | 2 | 3 | 3 | 5 | 6 | 7 | 9 | 10 | 12 | 14 |
| | LwA | 10,6 | 16,5 | 21,4 | 25,7 | 29,5 | 32,9 | 36 | 38,8 | 41,4 | 43,8 |
| 700x600 | Caudal (m ³ /h) | 3780 | 4536 | 5292 | 6048 | 6804 | 7560 | 8316 | 9072 | 9828 | 10584 |
| | Pt (Pa) | 2 | 2 | 3 | 4 | 5 | 6 | 8 | 9 | 11 | 12 |
| | LwA | 10,3 | 16,2 | 21,2 | 25,5 | 29,3 | 32,7 | 35,8 | 38,6 | 41,1 | 43,5 |
| 800x600 | Caudal (m ³ /h) | 4320 | 5184 | 6048 | 6912 | 7776 | 8640 | 9504 | 10368 | 11232 | 12096 |
| | Pt (Pa) | 1 | 2 | 3 | 4 | 5 | 6 | 7 | 8 | 10 | 12 |
| | LwA | 10,3 | 16,2 | 21,2 | 25,5 | 29,3 | 32,7 | 35,8 | 38,6 | 41,2 | 43,6 |

FDMB

DATOS TÉCNICOS

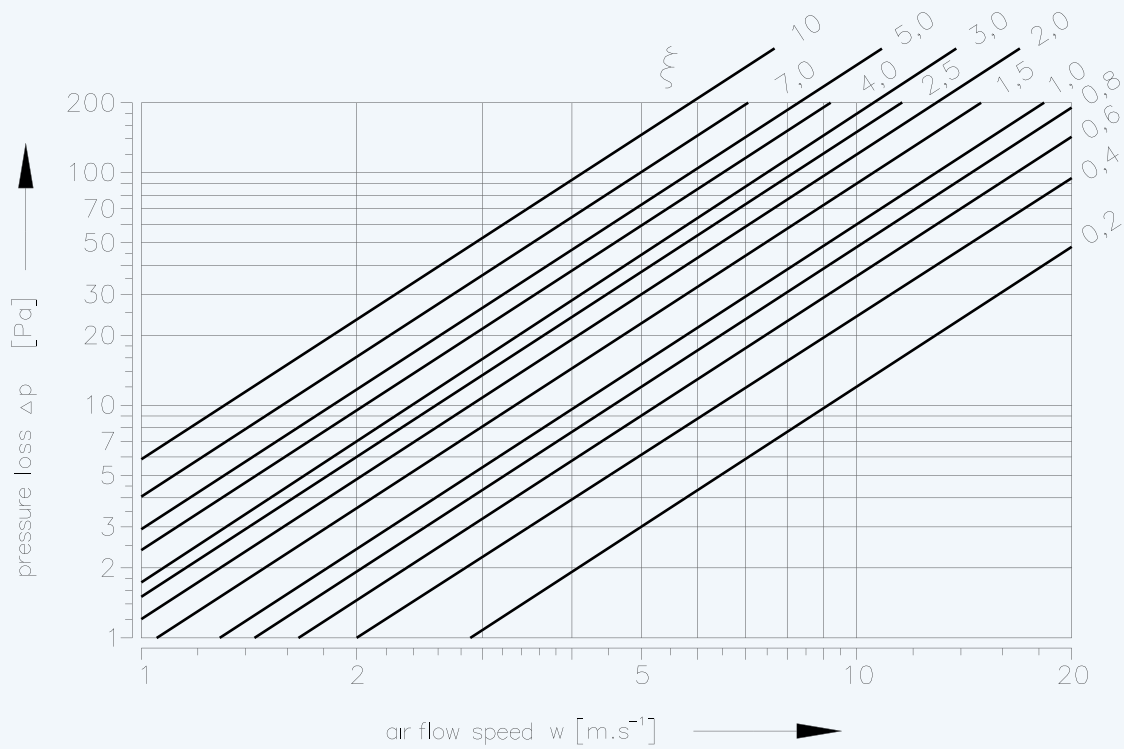


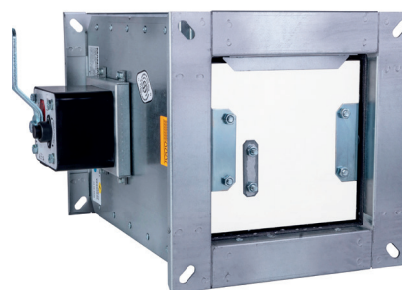
Cálculo de pérdida de presión

$$\Delta p = \xi \cdot \rho \cdot \frac{w^2}{2}$$

| | | |
|------------|-----------------------|---|
| Δp | [Pa] | pressure loss |
| w | [m.s ⁻¹] | air flow speed in nominal damper section |
| ρ | [kg.m ⁻³] | air density |
| ξ | [-] | coefficient of local pressure loss for the nominal damper section (see Tab. 11.1.1.) |

Determinación de pérdida de presión usando diagrama $\rho=1,2\text{kg.m}^3$





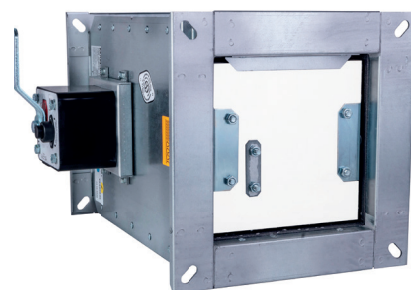
Coeficiente de pérdida de presión local ξ (-)

B

| A | 160 | 180 | 200 | 225 | 250 | 280 | 300 | 315 | 355 | 400 | 450 | 500 |
|------|-------|-------|-------|-------|-------|-------|-------|-------|-------|-------|-------|-------|
| 160 | 4,771 | 3,458 | 2,717 | 2,285 | 1,813 | 1,538 | 1,407 | 1,327 | 1,165 | 1,040 | 2,025 | 1,874 |
| 180 | 4,102 | 3,251 | 2,351 | 2,016 | 1,676 | 1,342 | 1,221 | 1,136 | 0,986 | 0,922 | 1,676 | 1,548 |
| 200 | 3,701 | 2,951 | 2,105 | 1,867 | 1,554 | 1,302 | 1,113 | 1,052 | 0,933 | 0,801 | 1,445 | 1,332 |
| 225 | 3,654 | 2,873 | 2,056 | 1,726 | 1,475 | 1,226 | 1,067 | 1,029 | 0,917 | 0,781 | 1,239 | 1,172 |
| 250 | 3,588 | 2,793 | 2,005 | 1,675 | 1,386 | 1,155 | 1,033 | 0,987 | 0,893 | 0,736 | 1,113 | 1,021 |
| 280 | 3,411 | 2,692 | 1,975 | 1,599 | 1,341 | 1,123 | 0,986 | 0,916 | 0,822 | 0,713 | 0,996 | 0,912 |
| 300 | 3,288 | 2,599 | 1,903 | 1,536 | 1,315 | 1,101 | 0,974 | 0,911 | 0,787 | 0,692 | 0,937 | 0,857 |
| 315 | 3,102 | 2,454 | 1,833 | 1,489 | 1,289 | 0,988 | 0,933 | 0,833 | 0,721 | 0,634 | 0,900 | 0,822 |
| 355 | 2,955 | 2,302 | 1,796 | 1,412 | 1,199 | 0,956 | 0,902 | 0,799 | 0,678 | 0,588 | 0,821 | 0,749 |
| 400 | 2,833 | 2,159 | 1,703 | 1,356 | 1,126 | 0,931 | 0,825 | 0,711 | 0,635 | 0,527 | 0,757 | 0,689 |
| 450 | 2,732 | 2,055 | 1,623 | 1,302 | 1,103 | 0,852 | 0,777 | 0,677 | 0,599 | 0,507 | 0,705 | 0,640 |
| 500 | 2,670 | 1,988 | 1,587 | 1,251 | 1,025 | 0,796 | 0,725 | 0,618 | 0,529 | 0,460 | 0,666 | 0,603 |
| 550 | 4,219 | 2,941 | 2,237 | 1,687 | 1,402 | 1,156 | 1,039 | 0,968 | 0,827 | 0,719 | 0,635 | 0,575 |
| 560 | 4,194 | 2,922 | 2,222 | 1,623 | 1,392 | 1,147 | 1,031 | 0,910 | 0,820 | 0,713 | 0,630 | 0,570 |
| 600 | 4,104 | 2,857 | 2,170 | 1,573 | 1,357 | 1,117 | 1,004 | 0,935 | 0,797 | 0,692 | 0,611 | 0,552 |
| 630 | 4,046 | 2,814 | 2,137 | 1,553 | 1,334 | 1,098 | 0,986 | 0,918 | 0,782 | 0,678 | 0,598 | 0,540 |
| 650 | 4,010 | 2,788 | 2,116 | 1,526 | 1,320 | 1,086 | 0,975 | 0,908 | 0,773 | 0,670 | 0,590 | 0,533 |
| 700 | 3,975 | 2,759 | 2,098 | 1,515 | 1,297 | 1,071 | 0,965 | 0,892 | 0,761 | 0,656 | 0,581 | 0,527 |
| 710 | 3,918 | 2,720 | 2,062 | 1,496 | 1,284 | 1,055 | 0,947 | 0,881 | 0,749 | 0,648 | 0,571 | 0,515 |
| 750 | 3,865 | 2,682 | 2,032 | 1,475 | 1,264 | 1,037 | 0,931 | 0,866 | 0,736 | 0,636 | 0,560 | 0,504 |
| 800 | 3,808 | 2,640 | 1,999 | 1,445 | 1,241 | 1,018 | 0,913 | 0,849 | 0,721 | 0,623 | 0,547 | 0,493 |
| 900 | 3,715 | 2,572 | 1,946 | 1,414 | 1,205 | 0,988 | 0,885 | 0,822 | 0,697 | 0,602 | 0,528 | 0,474 |
| 1000 | 3,643 | 2,519 | 1,904 | 1,395 | 1,177 | 0,964 | 0,863 | 0,801 | 0,679 | 0,585 | 0,512 | 0,460 |

FDMB

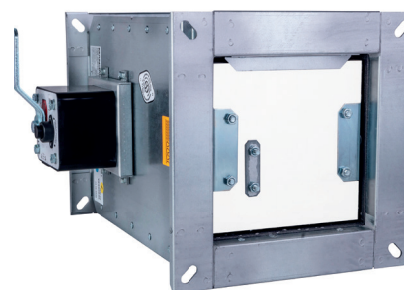
DATOS TÉCNICOS



Coeficiente de pérdida de presión local ξ (-)

B

| A | 550 | 560 | 600 | 630 | 650 | 700 | 710 | 750 | 800 | 900 | 1000 |
|-----|-------|-------|-------|-------|-------|-------|-------|-------|-------|-------|-------|
| 160 | 1,761 | 1,741 | 1,672 | 1,627 | 1,601 | 1,598 | 1,532 | 1,493 | 1,452 | 1,386 | 1,336 |
| 180 | 1,451 | 1,434 | 1,375 | 1,337 | 1,315 | 1,289 | 1,256 | 1,224 | 1,18 | 1,133 | 1,09 |
| 200 | 1,246 | 1,232 | 1,179 | 1,146 | 1,126 | 1,106 | 1,074 | 1,046 | 1,015 | 0,965 | 0,928 |
| 225 | 1,075 | 1,035 | 0,998 | 0,965 | 0,938 | 0,926 | 0,905 | 0,873 | 0,856 | 0,822 | 0,803 |
| 250 | 0,952 | 0,94 | 0,898 | 0,871 | 0,855 | 0,831 | 0,813 | 0,79 | 0,765 | 0,725 | 0,695 |
| 280 | 0,849 | 0,88 | 0,8 | 0,775 | 0,76 | 0,742 | 0,722 | 0,701 | 0,678 | 0,641 | 0,613 |
| 300 | 0,797 | 0,786 | 0,75 | 0,726 | 0,712 | 0,689 | 0,675 | 0,655 | 0,633 | 0,599 | 0,572 |
| 315 | 0,764 | 0,754 | 0,718 | 0,695 | 0,681 | 0,662 | 0,646 | 0,626 | 0,605 | 0,572 | 0,546 |
| 355 | 0,694 | 0,685 | 0,651 | 0,63 | 0,617 | 0,603 | 0,584 | 0,566 | 0,546 | 0,514 | 0,49 |
| 400 | 0,637 | 0,628 | 0,597 | 0,577 | 0,565 | 0,543 | 0,534 | 0,516 | 0,498 | 0,468 | 0,445 |
| 450 | 0,591 | 0,583 | 0,553 | 0,534 | 0,522 | 0,503 | 0,493 | 0,476 | 0,458 | 0,43 | 0,408 |
| 500 | 0,556 | 0,548 | 0,52 | 0,501 | 0,49 | 0,482 | 0,462 | 0,446 | 0,429 | 0,401 | 0,38 |
| 550 | 0,529 | 0,521 | 0,494 | 0,476 | 0,465 | 0,441 | 0,437 | 0,422 | 0,405 | 0,379 | - |
| 560 | 0,524 | 0,517 | 0,489 | 0,471 | 0,461 | 0,448 | 0,433 | 0,418 | 0,401 | - | - |
| 600 | 0,507 | 0,5 | 0,473 | 0,455 | 0,445 | 0,426 | 0,418 | 0,403 | 0,387 | - | - |
| 630 | 0,496 | 0,489 | 0,462 | 0,445 | 0,435 | 0,418 | 0,408 | 0,393 | - | - | - |
| 650 | 0,49 | 0,482 | 0,456 | 0,439 | 0,428 | 0,414 | 0,402 | 0,387 | - | - | - |
| 700 | 0,483 | 0,476 | 0,444 | 0,431 | 0,421 | 0,409 | 0,398 | 0,379 | - | - | - |
| 710 | 0,472 | 0,465 | 0,439 | 0,422 | 0,412 | 0,399 | - | - | - | - | - |
| 750 | 0,462 | 0,455 | 0,429 | 0,413 | 0,403 | - | - | - | - | - | - |
| 800 | 0,451 | 0,444 | 0,419 | - | - | - | - | - | - | - | - |
| 900 | 0,434 | - | - | - | - | - | - | - | - | - | - |



Nivel de salida acústica corregido con el filtro A

$$L_{WA} = L_{W1} + 10 \log(S) + K_A$$

| | | |
|----------|-------------------|--|
| L_{WA} | [dB(A)] | Nivel de salida acústica corregido con el filtro A |
| L_{W1} | [dB] | Nivel de salida acústica L_{W1} relacionado con la sección de 1 m ² (véase Tab.1) |
| S | [m ²] | Sección transversal del conducto |
| K_A | [dB] | Corrección del filtro de peso A (viz Tab.2) |

Nivel de salida acústica en rangos de octava.

$$L_{Woct} = L_{W1} + 10 \log(S) + L_{rel}$$

| | | |
|------------|-------------------|--|
| L_{Woct} | [dB] | Espectro de salida acústica en rango de octava |
| L_{W1} | [dB] | Nivel de salida acústica L_{W1} relacionado con la sección de 1 m ² (véase Tab.1) |
| S | [m ²] | Sección transversal del conducto |
| L_{rel} | [dB] | Nivel relativo que expresa la forma del espectro (véase Tab.3) |

Tabla de valores acústicos

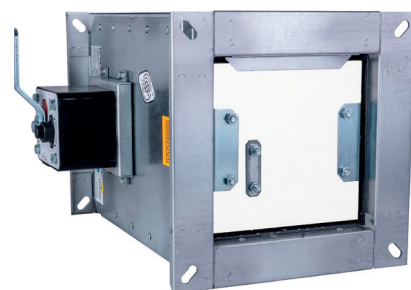
Tab.1 Nivel de salida acústica L_{W1} relacionado con la sección de 1 m²

[-] ξ

| v [m/s] | 0,2 | 0,3 | 0,4 | 0,5 | 0,6 | 0,7 | 0,8 | 0,9 | 1 | 1,5 | 2 | 2,5 | 3 | 4 | 5 |
|------------|------|------|------|------|------|------|------|------|------|------|------|------|------|------|------|
| 2 | 15,5 | 18,7 | 20,9 | 22,6 | 24 | 25,2 | 26,3 | 27,2 | 28 | 31,2 | 33,4 | 35,1 | 36,5 | 38,8 | 40,5 |
| 3 | 26,1 | 29,2 | 31,5 | 33,2 | 34,6 | 35,8 | 36,9 | 37,8 | 38,6 | 41,7 | 44 | 45,7 | 47,1 | 49,4 | 51,1 |
| 4 | 33,6 | 36,7 | 39 | 40,7 | 42,1 | 43,3 | 44,3 | 45,3 | 46,1 | 49,2 | 51,5 | 53,2 | 54,6 | 56,9 | 58,6 |
| 5 | 39,4 | 42,5 | 44,8 | 46,5 | 47,9 | 49,1 | 50,2 | 51,1 | 51,9 | 55 | 57,3 | 59 | 60,4 | 62,7 | 64,4 |
| 6 | 44,1 | 47,3 | 49,5 | 51,3 | 52,7 | 53,9 | 54,9 | 55,8 | 56,6 | 59,8 | 62 | 63,8 | 65,2 | 67,4 | 69,2 |
| 7 | 48,2 | 51,3 | 53,5 | 55,3 | 56,7 | 57,9 | 58,9 | 59,8 | 60,7 | 63,8 | 66,1 | 67,8 | 69,2 | 71,4 | 73,2 |
| 8 | 51,6 | 54,8 | 57 | 58,8 | 60,2 | 61,4 | 62,4 | 63,3 | 64,1 | 67,3 | 69,5 | 71,3 | 72,7 | 74,9 | 76,7 |
| 9 | 54,7 | 57,9 | 60,1 | 61,8 | 63,2 | 64,4 | 65,5 | 66,4 | 67,2 | 70,4 | 72,6 | 74,3 | 75,7 | 78 | 79,7 |
| 10 | 57,4 | 60,6 | 62,8 | 64,6 | 66 | 67,2 | 68,2 | 69,1 | 70 | 73,1 | 75,3 | 77,1 | 78,5 | 80,7 | 82,5 |
| 11 | 59,9 | 63,1 | 65,3 | 67,1 | 68,5 | 69,7 | 70,7 | 71,6 | 72,4 | 75,6 | 77,8 | 79,6 | 81 | 83,2 | 85 |
| 12 | 62,2 | 65,4 | 67,6 | 69,3 | 70,7 | 71,9 | 73 | 73,9 | 74,7 | 77,9 | 80,1 | 81,8 | 83,2 | 85,5 | 87,2 |

FDMB

DATOS TÉCNICOS



Corrección del peso del filtro A

Tab.2

| W [m/s] | 2 | 3 | 4 | 5 | 6 | 7 | 8 | 9 | 10 | 11 | 12 |
|------------|-------|-------|------|------|------|-----|------|------|------|------|------|
| K_a [dB] | -15,0 | -11,8 | -9,8 | -8,4 | -7,3 | 6,4 | -5,7 | -5,0 | -4,5 | -4,0 | -3,6 |

Tab.3 Nivel relativo que expresa la forma del espacio L_{rel}

| w [m/s] | f [Hz] | | | | | | | |
|------------|--------|------|-------|-------|-------|-------|-------|-------|
| | 63 | 125 | 250 | 500 | 1000 | 2000 | 4000 | 8000 |
| 2 | -4,5 | -6,9 | -10,9 | -16,7 | -24,1 | -33,2 | -43,9 | -56,4 |
| 3 | -3,9 | -5,3 | -8,4 | -13,1 | -19,5 | -27,6 | -37,4 | -48,9 |
| 4 | -3,9 | -4,5 | -6,9 | -10,9 | -16,7 | -24,1 | -33,2 | -43,9 |
| 5 | -4,0 | -4,1 | -5,9 | -9,4 | -14,6 | -21,5 | -30 | -40,3 |
| 6 | -4,2 | -3,9 | -5,3 | -8,4 | -13,1 | -19,5 | -27,6 | -37,4 |
| 7 | -4,5 | -3,9 | -4,9 | -7,5 | -11,9 | -17,9 | -25,7 | -35,1 |
| 8 | -4,9 | -3,9 | -4,5 | -6,9 | -10,9 | -16,7 | -24,1 | -33,2 |
| 9 | -5,2 | -3,9 | -4,3 | -6,4 | -10,1 | -15,6 | -22,7 | -31,5 |
| 10 | -5,5 | -4 | -4,1 | -5,9 | -9,4 | -14,6 | -21,5 | -30 |
| 11 | -5,9 | -4,1 | -4 | -5,6 | -8,9 | -13,8 | -20,4 | -28,8 |
| 12 | -6,2 | -4,3 | -3,9 | -5,3 | -8,4 | -13,1 | -19,5 | -27,6 |